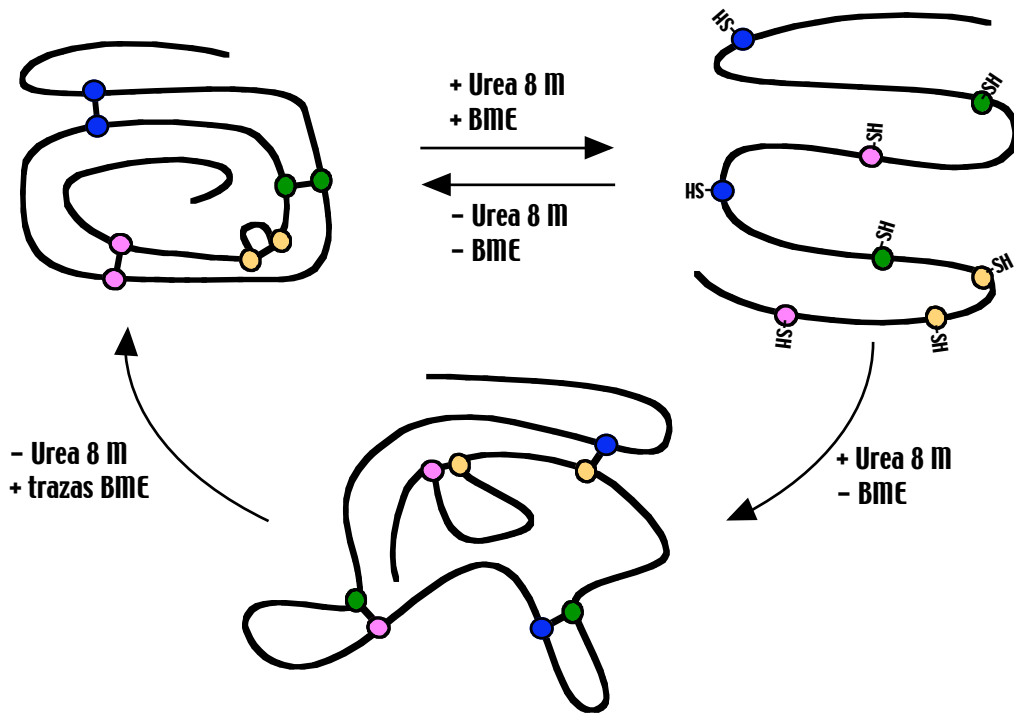
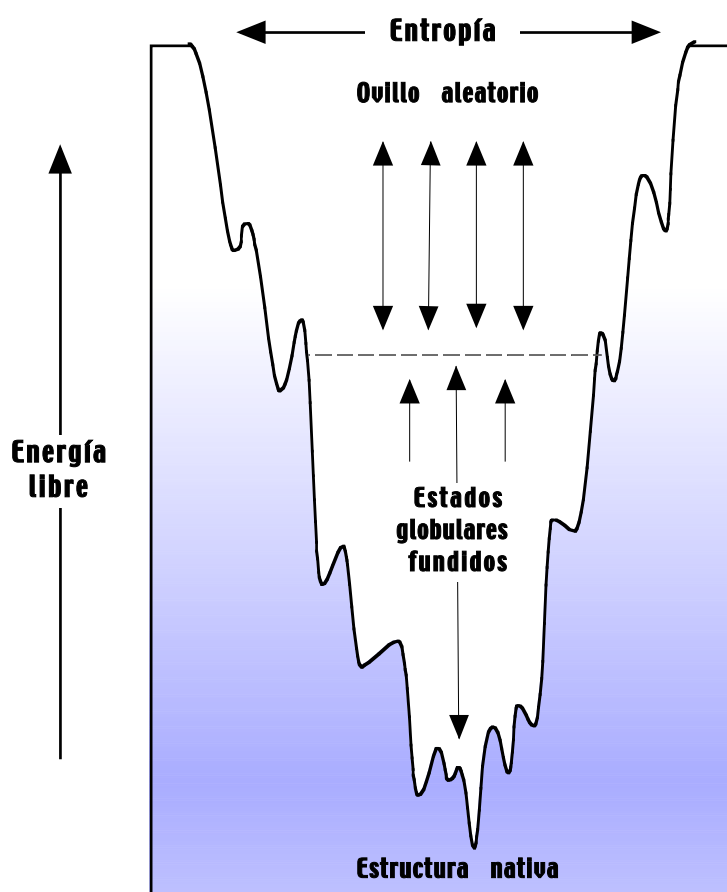
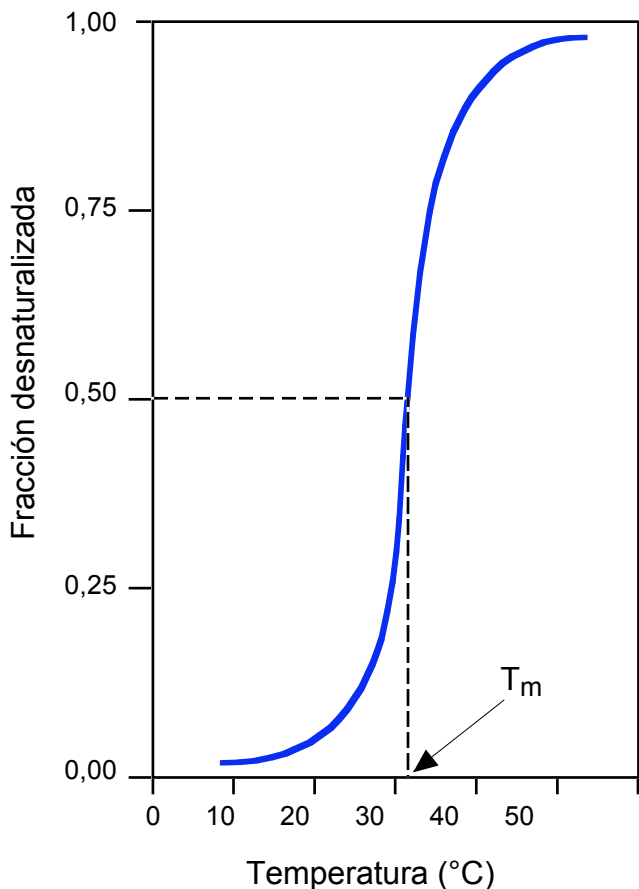


Reducción y desnaturización de la ribonucleasa A



Termodinámica del plegado proteico

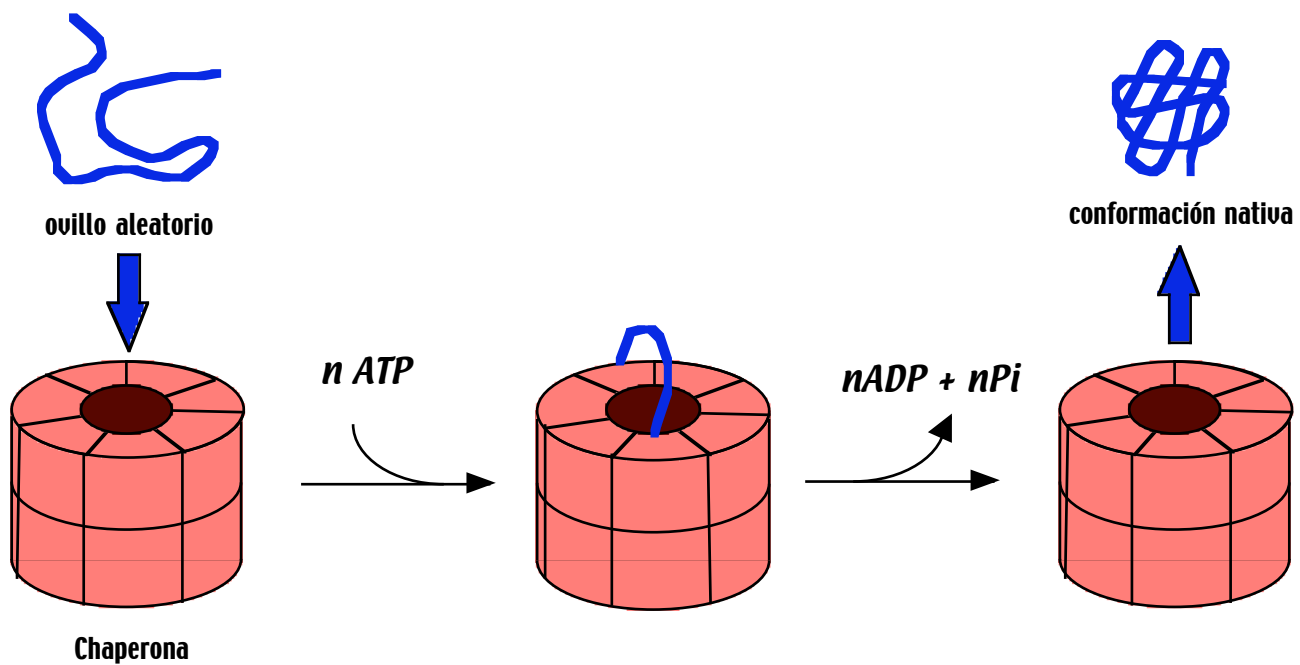




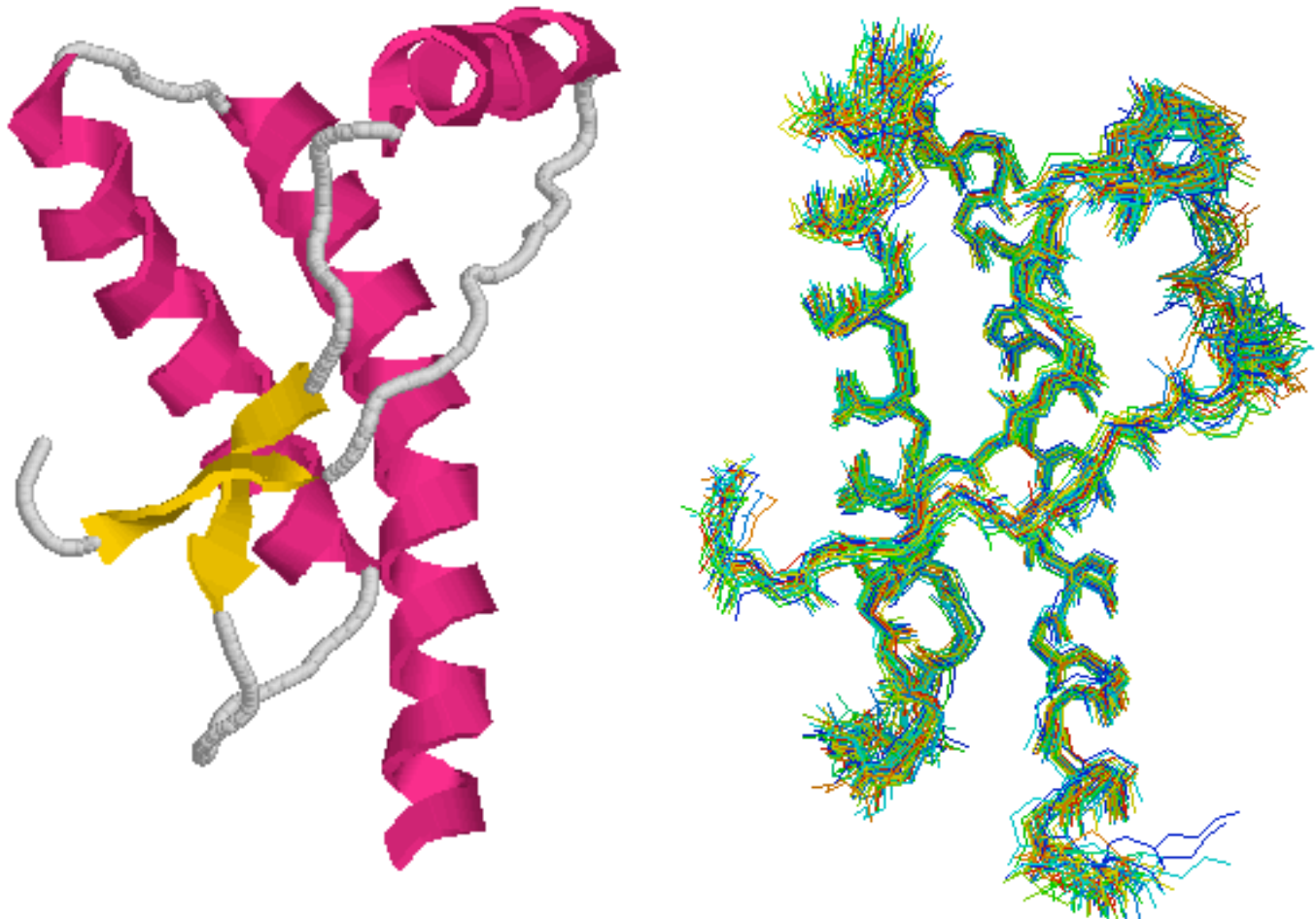
Frecuencias relativas de los residuos de aminoácido en estructuras secundarias

Aminoácido	Hélice α	Hoja β	Giro	
Ala	1,29	0,90	0,78	Preferencia por hélices α
Cys	1,11	0,74	0,80	
Leu	1,30	1,02	0,59	
Met	1,47	0,97	0,39	
Glu	1,44	0,75	1,00	
Gln	1,27	0,80	0,97	
His	1,22	1,08	0,69	
Lys	1,23	0,77	0,96	
Val	0,91	1,49	0,47	Preferencia por hojas β
Ile	0,97	1,45	0,51	
Phe	1,07	1,32	0,58	
Tyr	0,72	1,25	1,05	
Trp	0,99	1,14	0,75	
Thr	0,82	1,21	1,03	
Gly	0,56	0,92	1,64	Preferencia por giros
Ser	0,82	0,95	1,33	
Asp	1,04	0,72	1,41	
Asn	0,90	0,76	1,28	
Pro	0,52	0,64	1,91	
Arg	0,96	0,99	0,88	

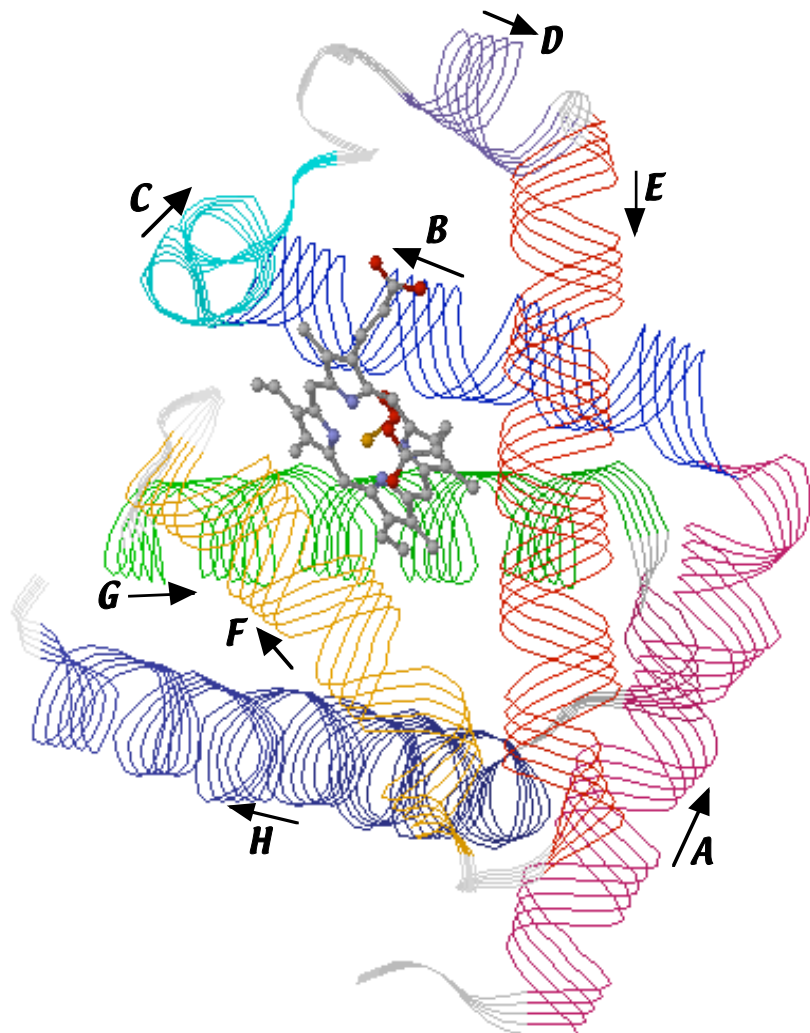
Las chaperonas facilitan el plegado de las proteínas



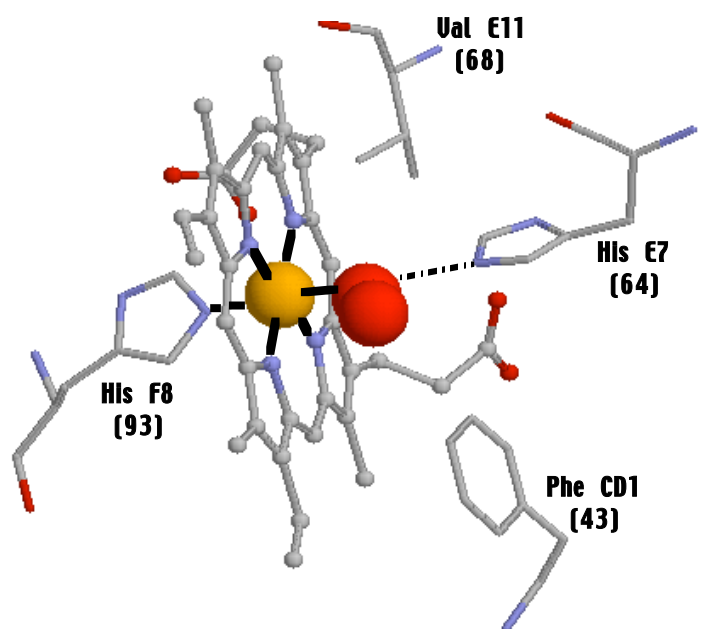
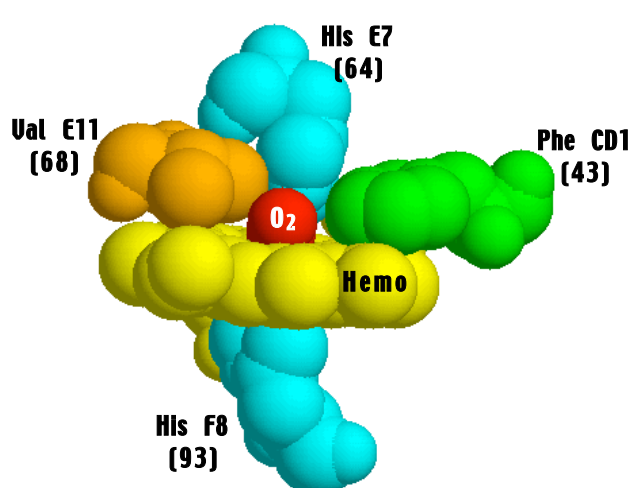
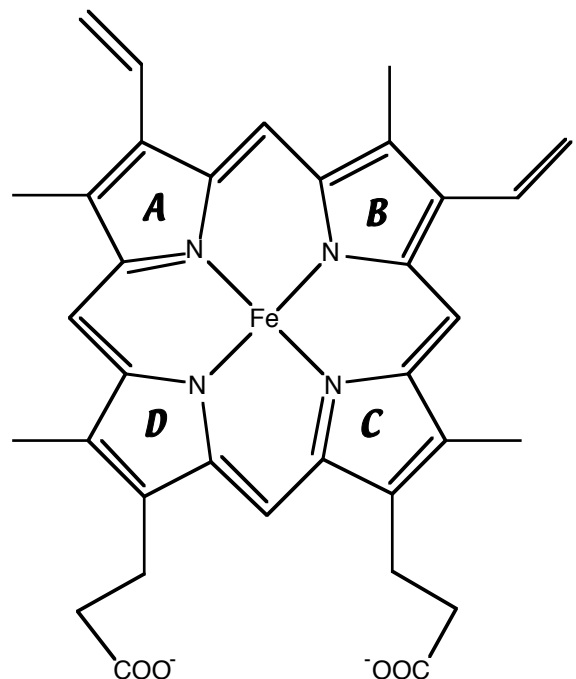
Dinámica de la estructura proteíca



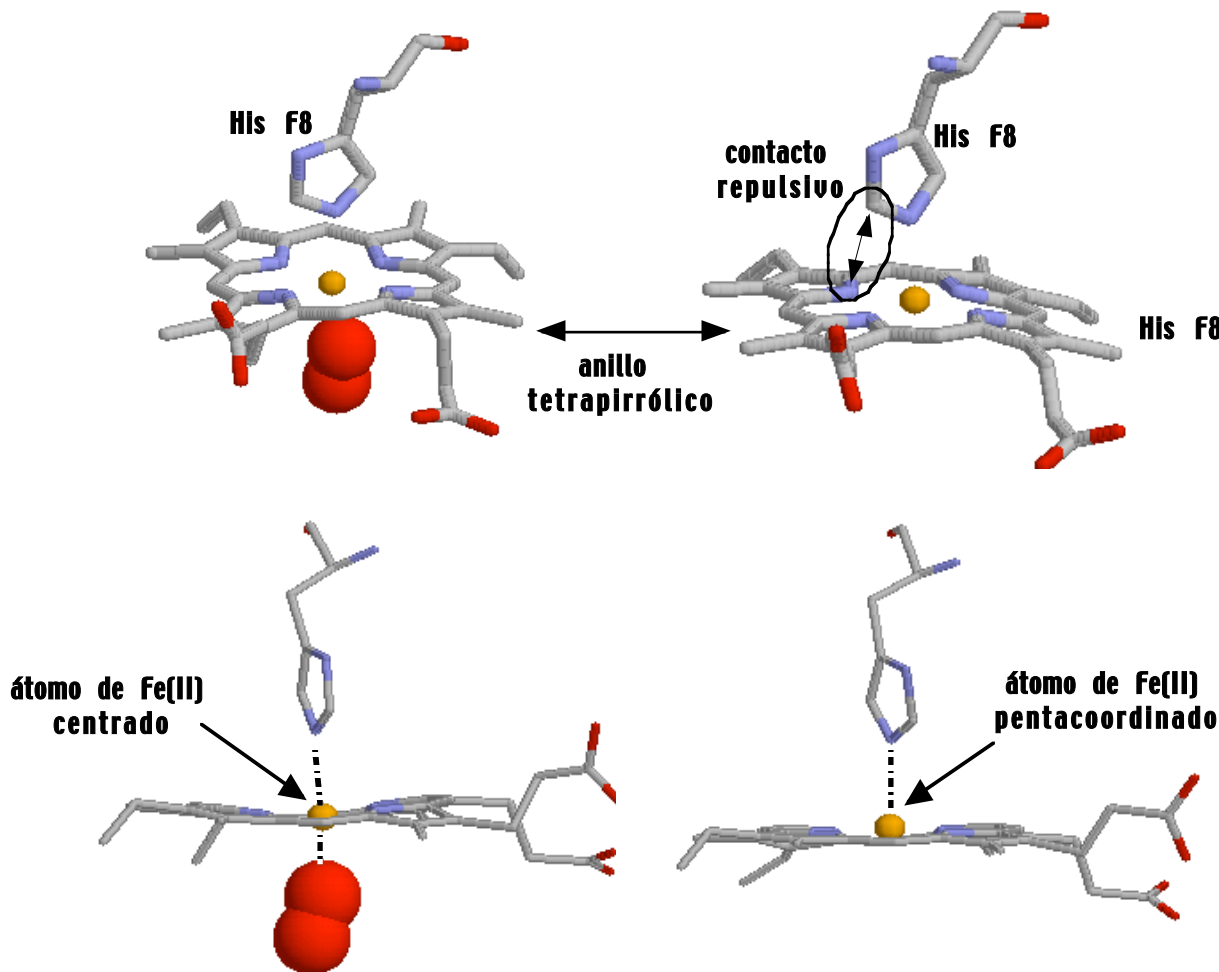
Estructura de la mioglobina



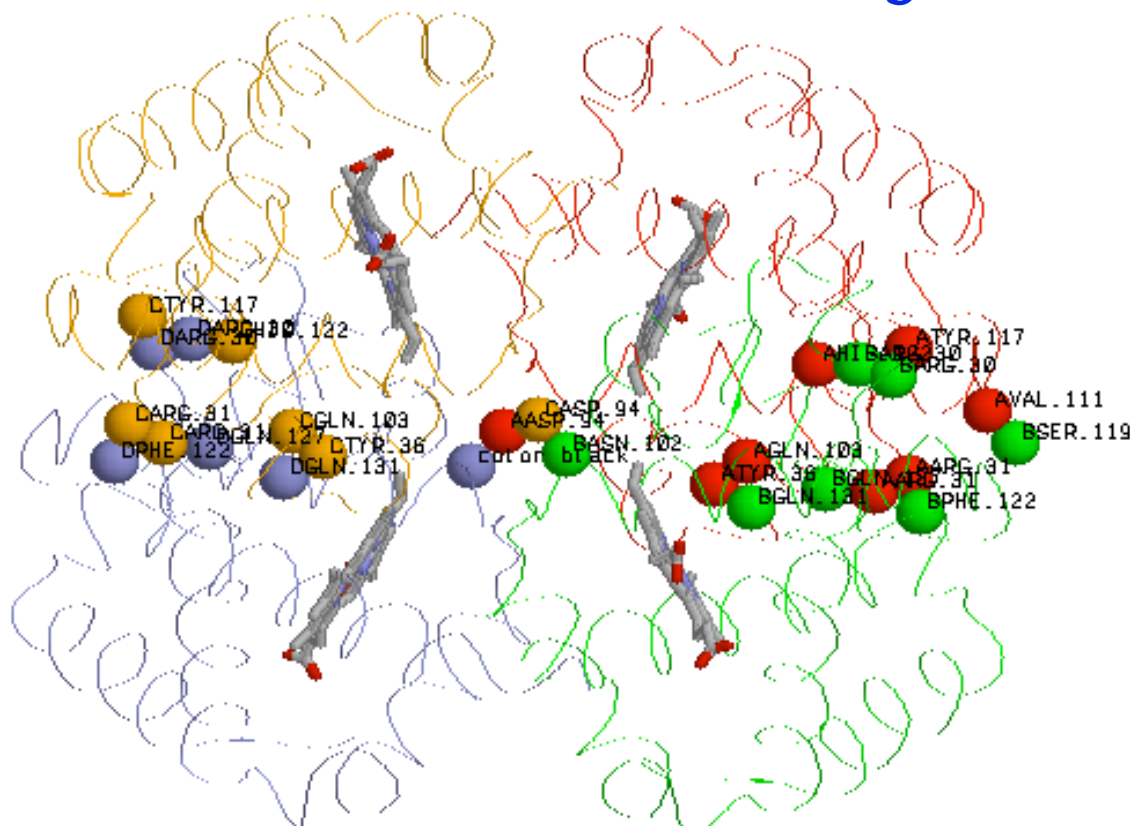
El grupo hemo



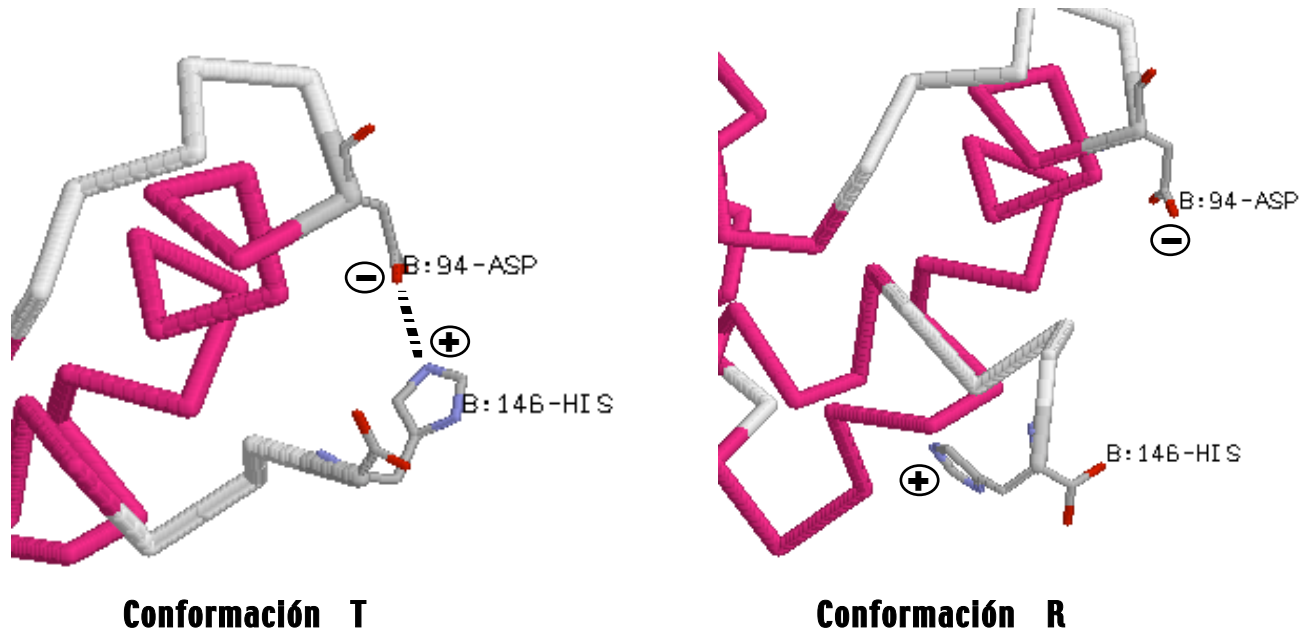
Cambios conformacionales en el grupo hemo entre la desoxi-Hb y la oxi-Hb



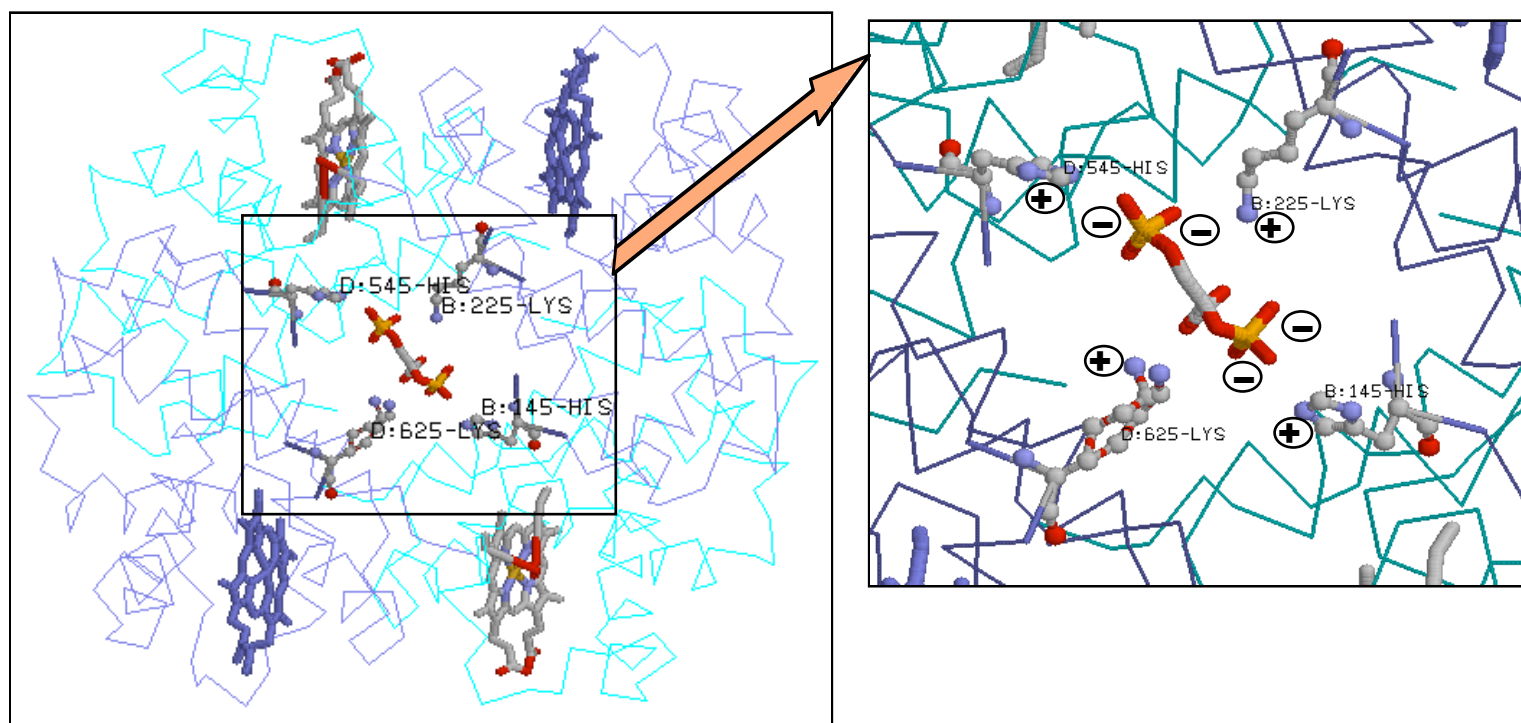
Estructura cuaternaria de la hemoglobina



Interacciones entre la His146 y la Asp94



Unión del 2,3-bisfosfoglicerato a la hemoglobina



El plegamiento de la inmunoglobulina

